

تأثیر تنش‌های سه‌گانه خشکی، شوری و کمبود نیتروژن بر میزان جذب آب در گیاه گوجه‌فرنگی
The Effect of Triple tensions Drought, Salinity and Nitrogen Deficiency on Water Absorption in Tomato Plants

حسین اردلانی^۱، حسین بابازاده^۱، حسین ابراهیمی^۲.

۱- گروه علوم آب و مهندسی، واحد علوم و تحقیقات، دانشگاه آزاد اسلامی، تهران، ایران.

۲- گروه علوم آب و مهندسی، واحد علوم و تحقیقات، دانشگاه آزاد اسلامی، تهران، ایران.

نویسنده مسؤول مکاتبات: h.ardalani1619@yahoo.com

تاریخ دریافت: ۹۶/۷/۵ تاریخ پذیرش: ۹۶/۱۱/۱۱

چکیده

مدیریت بهینه آب آبیاری و کاربرد بهینه مواد غذایی در شرایط شوری و خشکی از اهمیت بالایی برخوردار است. به منظور ارزیابی برخی توابع کاهش جذب آب گیاه گوجه‌فرنگی به تنش همزمان خشکی، شوری و سطوح مختلف نیتروژن، آزمایشی با چهار سطح مختلف آب آبیاری شامل ۱۰۰، ۷۵، ۵۰ و ۱۲۰ درصد نیاز آبی، شش سطح شوری شامل ۱، ۲، ۴، ۶، ۸ و ۱۰ دسی زیمنس بر متر و سه سطح نیتروژن شامل صفر، ۵۰ و ۱۰۰ درصد نیاز کودی با سه تکرار روی گیاه گوجه فرنگی انجام شد. نتایج نشان در شرایط توأم شوری و نیتروژن، مدل تعديل یافته MB و در شرایط تنش همزمان آبی و نیتروژن مدل‌های اشتراقی MB-VG و MB-D، MB-F، MB-H، MB-F و MB-D دارای دقت مناسب‌تری داشته و مدل MB-F در مقایسه با سایر مدل‌ها بهترین برازش را نسبت به داده‌های اندازه‌گیری داشت. در شرایط تنش همزمان آبی، شوری و نیتروژن مدل ضرب‌پذیر MB-MB-F از بین مدل‌های پیشنهادی دارای بهترین برازش بود.

واژگان کلیدی: تنش نیتروژن، گوجه فرنگی، مدل‌های جذب، مدیریت آبیاری.

مقدمه

شور بیشتر است (Yoldas *et al.*, 2008). ماسا و همکاران (Massa *et al.*, 2009) اثر محیط شور ریشه را برابر جذب نیترات و پتاسیم گیاه را مورد ارزیابی دادند. یافته‌های آنان نشان داد که جذب نیترات توسط گیاه به گونه‌ای منفی تحت تأثیر غلظت NaCl قرار می‌گیرد. آزمایش مزرعه‌ای طی دو سال زراعی متواالی بر روی ذرت تحت شرایط تنش توامان آب، نیتروژن و شوری، انجام شد. نتایج نشان داد که در بین مدل‌های جذب آب، مدل (Homaei *et al.*, 2002^b) برآورد قابل قبول‌تری از تابع کاهش جذب آب داشت (Jun-feng *et al.*, 2010). اثرات شوری و NO₃ را بر رشد، مورفولوژی ریشه و جذب نیتروژن یک گیاه نمک دوست (*suaeda physophora*) مورد بررسی قرار دادند اضافه کردن ۱۰ میلی مول بر لیتر NO₃ به طور معنی داری رشد ساقه و ریشه را بهبود داد و تأثیر NO₃ به جز در غلظت زیاد NaCl در وزن خشک ریشه چشمگیر نبود. در پژوهشی سیدکیو و همکاران (Siddiquea *et al.*, 2010) گزارش کردند تحت شرایط تنش شوری، کاربرد نیتروژن باعث بهبود معنی داری در دو نوع ژنتیک پ در رابطه با صفات رشد مانند وزن خشک، پارامترهای فیزیکوپیشیمیایی و ویژگی‌های عملکرد می‌شود. ژنتیک‌های مقاوم به شوری، ماکریم عملکرد در رشد و خصوصیات فیزیک و بیوشیمیایی را در ۶۰ میلی گرم بر کیلوگرم نیتروژن نسبت به ژنتیک حساس به شوری نشان دادند. راموس و همکاران (Ramos *et al.*, 2010) تأثیر استفاده ترکیبی آب شور و کود نیتروژنی را بر روی گیاه سورگوم طی آزمایشی مورد بررسی قرار داده و بازده نزولی زیست توده خشک و عملکرد قند بر اثر تغییرات افزاینده نیتروژن را گزارش کردند. همچنین، استفاده از آب آبیاری شور باعث کاهش عملکرد گیاه گردید. از دیگر یافته‌های این پژوهش آن بود که افزایش جزء آبشویی باعث کاهش تنش شوری، افزایش تعرق، جذب نیتروژن و عملکرد زیست توده می‌گردد. مطالعات شنکر و همکاران (Shenker *et al.*, 2003) نشان داد که اثر شوری و تنش کودی جمع‌پذیر است، مشروط بر اینکه هیچ یک از تنش‌ها به صورت بحرانی نباشد. هنگامی که عملکرد بر اثر فقر غذایی و یا شوری به طور مشابهی کاهش یافته باشد، کاهش شوری و یا مصرف کود، افزایش عملکرد را در بر خواهد داشت. اما چنانچه اثر یکی از این

شوری، حداقل ۲۰ درصد اراضی قابل کشت و بیش از ۴۰ درصد زمین‌های تحت آبیاری جهان را به درجات مختلف متأثر ساخته است (Demiral *et al.*, 2005). از طرف دیگر، رشد بالای جمعیت، توسعه شهری و صنعتی شدن و در نتیجه افزایش رشد تقاضا برای منابع آب شیرین، بخش کشاورزی را با محدودیت استفاده از منابع (Chartzoulakis and Klapaki, 2005) آب با کیفیت بالا روبرو کرده است (Bustan *et al.*, 2005). بهمنظور غلبه بر کمبود آب، استفاده از آب‌های با کیفیت پایین‌تر مانند آب‌های لب شور، فاضلاب‌ها و آب‌های زهکش شده در بسیاری از کشورها اهمیت پیدا کرده است (Skaggs *et al.*, 2006). اگرچه آبیاری سبب افزایش محصولات کشاورزی در سراسر جهان می‌شود، اما در صورت عدم مدیریت صحیح سبب افزایش مقدار نمک در زمین‌های کشاورزی نیز می‌گردد. تخمین زده شده است سالانه ۰/۲۵ تا ۰/۵ هکتار زمین کشاورزی به علت افزایش نمک از چرخه تولید خارج می‌شود (Brown *et al.*, 2006). وقتی رطوبت خاک خیلی کم می‌شود، غلظت نمک در ناحیه بین ریشه و خاک به طور شگرفی افزایش می‌یابد. وقتی این دو تنش همزمان اتفاق می‌افتد اثر تنش شوری روی گیاه تشديد می‌شود (Ercoli *et al.*, 2008). نیازهای گیاه به کود در مراحل مختلف رشد متفاوت است. عدم تامین عناصر غذایی کافی، عملکرد محصولات کشاورزی را کاهش می‌دهد، اما مصرف بیش از اندازه نیز باعث هدر روى منابع می‌شود. کمبود آب و کمبود نیتروژن منجر به کاهش تولید محصول در نتیجه کاهش بهره‌وری استفاده از منابع می‌شود. به عبارت دیگر جذب نیتروژن از خاک تحت تأثیر آب قرار می‌گیرد (Rahman *et al.* & Erdal *et al.*, 2006). محققان طی آزمایشی تأثیر چهار سطح نیتروژن را بر رشد گوجه فرنگی بررسی کردند. نتایج نشان داد که افزایش سطح نیتروژن از صفر به ۱۶۰ کیلوگرم در هکتار باعث افزایش عملکرد میوه گردید (Ercoli *et al.*, 2007). بروکلی گزارش نمودند که افزایش سطوح نیتروژن از صفر به ۶۰۰ کیلوگرم در هکتار باعث افزایش معنی دار غلظت پتاسیم، کلسیم، منیزیم، آهن و روی برگ کلم بروکلی گردید، در حالی که غلظت فسفر، بور و منگنز تحت تأثیر سطوح نیتروژن نبود. کوددهی نیتروژن در تمام خاک‌ها ضروری است ولی اهمیت آن در خاک‌های

دو مدل تعديل یافته برای بررسی پاسخ گیاه در شرایط تنفس همزمان یک عنصر غذایی همچون نیتروژن و سوری وجود دارند که شامل مدل‌های تعديل یافته لیبیگ - اسپرینگل (LS) و مدل (Mitscherlich-Baule) (MB) تعديل یافته می‌چرلیخ بال هستند. بر مبنای مدل تعديل یافته لیبیگ - اسپرینگل (Liebig-Sprengel) (LS) در هر زمان، یک عامل رشد که محدود کننده‌ترین آنها است، مقدار عملکرد را تعیین می‌کند و پاسخ گیاه به این عامل رشد خطی است. مدل تعديل یافته لیبیگ - اسپرینگل به صورت زیر بیان می‌شود (Shenker *et al.*, 2003).

دو تنش در کاهش عملکرد بیش از دیگری باشد، ممانعت از تنفس که شدیدتر است، عملکرد را بیشتر افزایش می‌دهد تا تنفس که سهم کمتری در کاهش عملکرد دارد. نتایج تحقیقات نشان می‌دهد که اثر تنش کودی کمتر از تنفس آبی و تنش سوری می‌باشد و در تنش‌های سوری شدید افزایش مقدار مصرف کود کمک چندانی به افزایش عملکرد محصول نمی‌کند، در حالی که افزایش مقدار آب آبیاری عملکرد را افزایش می‌دهد. هدف از انجام این پژوهش، ارزیابی توابع جذب آب گیاه گوجه فرنگی به تنش‌های توامان آب، سوری و کمبود نیتروژن بود.

مواد و روش‌ها

مدل‌های کاهش جذب آب تحت شرایط تنش همزمان شوری و کمبود نیتروژن

$$Y_r = \text{Min} \begin{cases} \begin{cases} 1 & ; EC < EC_{cr} \\ a - b(EC - EC_{cr}) & ; EC \geq EC_{cr} \end{cases} \\ \begin{cases} 1 & ; N > N_{cr} \\ n \cdot N & ; EC \leq EC_{cr} \end{cases} \end{cases} \quad (1)$$

که افزودن یک عنصر به محیط ریشه سبب اشباع ناقل پروتئینی ریشه (که انتقال‌دهنده عنصر از سطح ریشه به داخل ریشه است) با آن عنصر می‌شود. در این مدل عوامل رشد به طور همزمان رشد گیاه را تحت تأثیر قرار داده و به صورت تجمعی عمل می‌کنند. بدین ترتیب مدل MB را با فرض خطی بودن پاسخ گیاه به تنش سوری، برای تنش‌های توامان شوری و کمبود نیتروژن می‌توان به صورت زیر تعديل کرد (Shenker *et al.*, 2003).

$$Y_r = (1 - e^{-C_N N})(1 - e^{C_{EC}(EC - EC_{max})}) \quad (2)$$

مدل‌های کاهش جذب آب تحت شرایط تنش همزمان آبی و کمبود نیتروژن

برای این پژوهش هیچ گونه مدل ریاضی برای بیان تنش توامان آبی و مواد غذایی وجود ندارد، بنابراین از برخی مدل‌های اشتراقی جذب آب در شرایط توامان آبی و غذایی از ترکیب مدل می‌چرلیخ-بال (MB) برای تنش مواد غذایی و مدل‌های (MB-F) Feddes *et al.*, (1987) (MB-VG) van Genuchten (1987) Homaei *et al.*, ()

که در آن، EC_{cr} و N_{cr} عامل‌های تنش‌زا، به ترتیب حد آستانه گیاه به سوری و حد آستانه گیاه به کمبود نیتروژن، a و b به ترتیب عرض از مبدأ و شبیه تابع پاسخ عملکرد به عامل EC_{cr} و شبیه پاسخ عملکرد به عامل N_{cr} می‌باشد. $\text{Min} N_{cr}$ در حقیقت مفهوم قانون حداقل را بیان می‌کند و Y_r عملکرد نسبی گیاه است.

مدل تعديل یافته می‌چرلیخ بال (Mitscherlich-Baule) (MB) در اصل از یک مبنای فیزیولوژیک تبعیت می‌کند

که در آن EC_{max} مقدار هدایت الکتریکی آب شور می‌باشد، که در آن عملکرد محصول برابر صفر است. و C_{EC} و N_{EC} مقادیر عامل‌های مؤثر بر رشد، C_N عامل کارآبی یا ضریب می‌چرلیخ برای عامل‌های مؤثر رشد مربوطه که برای هر عامل رشد ثابت فرض می‌شود.

اشتقاقی LS-F و MB-H ، MB-D,MB-VG ,MB-F شرح جدول یک می‌باشد:

(MB-H) برای تنش آبی و مدل لیبیگ- اسپرینگل (200b)
 (LS) برای تنش مواد غذایی و مدل Feddes *et al.*,
 (LS-F) برای تنش آبی ارائه و روابط مدل‌های (1987)

جدول یک- مدل‌های ارزیابی تنش‌های توانان خشکی و نیتروژن
 Table 1- Evaluation models of simultaneous drought and nitrogen

مدل (Model)	روابط (Relationships)
MB-F مدل اشتقاقی (MB-F Derived model)	$\alpha(N, h) = (1 - e^{-C_N N}) \times \frac{h - h_4}{h_3 - h_4}$ (۳)
MB-VG مدل اشتقاقی (MB-VG Derived model)	$\alpha(N, h) = (1 - e^{-C_N N}) \times \frac{1}{1 + \left(\frac{h}{h_{50}}\right)^P}$ (۴)
MB-D مدل اشتقاقی (MB-D Derived model)	$\alpha(N, h) = (1 - e^{-C_N N}) \times \frac{1}{1 + \left(\frac{h - h^*}{h^* - h_{50}}\right)^P}$ (۵)
MB-H مدل اشتقاقی (MB-H Derived model)	$\alpha(N, h) = (1 - e^{-C_N N}) \times 1 / (1 + (1 / (1 + (1 - \alpha_0) / \alpha_0 [(h * - h) / (h * - h_{max})]) P)$ (۶)
LS-F مدل اشتقاقی (LS-F Derived model)	$Y_r = \text{Min} \begin{cases} \begin{cases} 1 & ; h < h_3 \\ \frac{h-h_4}{h_3-h_4} & ; h \geq h_3 \end{cases} & ; N \geq N_{cr} \\ 1 & ; N < N_{cr} \end{cases}$ (۷)

factor, N values of factors affecting growth, C_{EC} and C_N Mitscherlich Coefficient for growth effective factors

مدل‌های کاهش جذب آب تحت شرایط تنش همزمان آبی، شوری و کمبود نیتروژن به منظور ارزیابی تنش‌های توانان شوری، خشکی و کمبود نیتروژن، مدل‌های ریاضی مختلف ارائه شده به صورت حاصل‌ضریبی مورد استفاده قرار گرفته است. برای این منظور از ترکیب مدل میچرلیخ- بال (MB) برای تنش‌های همزمان شوری و نیتروژن و مدل‌های تنش خشکی شامل فدس و همکاران، ون گتوختن و هافمن، دیرکسن و آگوستین و همایی به شرح جدول دو استفاده شد.

که در آن h_3 h_4 h^* به ترتیب پتانسیل ماتریک، نقطه شروع تنش آبی، نقطه پژمردگی و آستانه خشکی، h_{50} پتانسیل ماتریکی که به ازای آن میزان جذب ۵۰ درصد کاهش می‌یابد، P پارامتری تجربی وابسته به گیاه، خاک و اقلیم، n شبی پاسخ عملکرد به عامل N_{cr} min مفهوم قانون حداقل، Y عملکرد نسبی گیاه، α_0 ضریب کاهش، N مقادیر عامل‌های مؤثر بر رشد، C_{EC} و C_N ضریب میچرلیخ برای عامل‌های مؤثر رشد

Where h , h_3 , h_4 , h^* , respectively, matric potential, starting point of water stress, wilting point and dry threshold, h_{50} is a matrix potential with a 50% reduction in absorbance, P experimental parameter related to plants, soil and climate, n dip response to operating performance N_{cr} , min of the minimum, Y relative performance of the plant, α_0 reduction

جدول ۲- مدل‌های ارزیابی تنש‌های توأم خشکی، شوری و نیتروژن
Table 2- Evaluation models of simultaneous drought, salinity and nitrogen

(Model) مدل	(Relationships) روابط
(MB-MB-F) مدل اشتاقاقی میچرلیخ و فدنس (F) (MB-MB-F Derived model)	$\alpha(h, \pi, N) = (1 - e^{-C_N N})(1 - e^{C_{EC}(EC - EC_{max})}) \frac{h - h_4}{h_3 - h_4}$ (۸)
(MB-MB-VG) مدل اشتاقاقی میچرلیخ و ون گنوختن (VG) (MB-MB-VG Derived model)	$\alpha(h, \pi, N) = (1 - e^{-C_N N})(1 - e^{C_{EC}(EC - EC_{max})}) \frac{1}{1 + \left(\frac{h}{h_{50}}\right)^P}$ (۹)
(MB-MB-D) مدل اشتاقاقی میچرلیخ و دیرکسن (D) (MB-MB-D Derived model)	$\alpha(h, \pi, N) = (1 - e^{-C_N N})(1 - e^{C_{EC}(EC - EC_{max})}) \frac{1}{1 + \left(\frac{h - h^*}{h^* - h_{50}}\right)^P}$ (۱۰)
(MB-H) مدل اشتاقاقی میچرلیخ بال و همایی (H) (MB-H Derived model)	$\alpha(h, \pi, N) = (1 - e^{-C_N N}) \times \frac{h - (h_4 - \pi)}{h_3 - (h_4 - \pi)} \times \left[1 - \frac{b}{360} (h^* - h)\right]$ (۱۱)

توصیفی (d)، نسبت انحراف مقادیر شبیه‌سازی شده از اندازه‌گیری شده به انحراف مقادیر اندازه‌گیری شده از مقادیر میانگین (EF) و مقدار CRM که نشان‌دهنده تمایل مدل برای بیش برآورده و کم برآورده در مقایسه با مقادیر اندازه‌گیری‌ها می‌باشد به صورت زیر استفاده شد.

$$ME = MAX|P_i - O_i|_{i=1}^n \times \frac{100}{\bar{O}}$$
 (۱۲)

$$RSME = \left[\frac{\sum_{i=1}^n (P_i - O_i)^2}{n} \right]^{1/2}$$
 (۱۳)

$$d = 1 - \frac{\sum_{i=1}^n (|P_i - \bar{O}| + |O_i - \bar{O}|)^2}{\sum_{i=1}^n (P_i - O_i)^2}$$
 (۱۴)

$$EF = \frac{\sum_{i=1}^n (O_i - \bar{O})^2 - \sum_{i=1}^n (P_i - \bar{O})^2}{\sum_{i=1}^n (O_i - \bar{O})^2}$$
 (۱۵)

$$CRM = \frac{\sum_{i=1}^n O_i - \sum_{i=1}^n P_i}{\sum_{i=1}^n O_i}$$
 (۱۶)

به مقادیر برآورده شده ارجائی می‌دهند. شاخص CRM گرایش مدل به تخمین بیشتر و یا کمتر از مقادیر اندازه‌گیری شده را بیان می‌کند. اگر تمامی داده‌های برآورده شده و اندازه‌گیری شده یکسان باشند. نتایج آماره‌ها به صورت ME، CRM و RMSE برابر صفر و EF برابر یک خواهد بود (Homaei et al., 2002^b).

آزمایش مزرعه‌ای

پژوهش حاضر در محیط گلخانه‌ای در سال ۱۳۹۵ در دماوند بر روی گیاه گوجه‌فرنگی (*Solanum lycopersicum*) رقم رد استون انجام شد. منطقه مورد مطالعه در موقعیت جغرافیایی به طول ۳۵ درجه و ۴۱ دقیقه، عرض جغرافیایی ۵۲ درجه و ۱ دقیقه و ارتفاع

شاخص‌های ارزیابی مدل‌های مورد استفاده برای سنجش، اعتبار و درستی توابع تولید مدل‌ها شاخص‌های آماری متفاوتی وجود دارند. برای ارزیابی مدل‌ها، از پارامترهای آماری ریشه دوم میانگین قدر مطلق خطاهای (RMSE)، قدر مطلق بیشینه خطاهای (ME)، پارامتر

$$ME = MAX|P_i - O_i|_{i=1}^n \times \frac{100}{\bar{O}}$$
 (۱۲)

$$RSME = \left[\frac{\sum_{i=1}^n (P_i - O_i)^2}{n} \right]^{1/2}$$
 (۱۳)

$$d = 1 - \frac{\sum_{i=1}^n (|P_i - \bar{O}| + |O_i - \bar{O}|)^2}{\sum_{i=1}^n (P_i - O_i)^2}$$
 (۱۴)

$$EF = \frac{\sum_{i=1}^n (O_i - \bar{O})^2 - \sum_{i=1}^n (P_i - \bar{O})^2}{\sum_{i=1}^n (O_i - \bar{O})^2}$$
 (۱۵)

$$CRM = \frac{\sum_{i=1}^n O_i - \sum_{i=1}^n P_i}{\sum_{i=1}^n O_i}$$
 (۱۶)

که در آنها P_i مقادیر برآورده شده، O_i مقادیر اندازه‌گیری شده، n تعداد مشاهدات و \bar{O} میانگین مقادیر O_i می‌باشد. کمترین مقدار برای ME، CRM و RSME صفر است. هر چه مقدار ME مدل بیشتر باشد مناسب بودن مدل کمتر می‌شود، در حالی که مقدار CRM نشان می‌دهد، که برآوردها چه مقدار بیش برآورده یا کم برآورده نسبت به مقادیر اندازه‌گیری شده دارند (Homaei et al., 2002). اگر تمامی داده‌های برآورده شده و اندازه‌گیری شده یکسان باشند، بیشترین مقدار برای EF برابر یک است. مقادیر CRM و EF می‌توانند منفی باشند. مقدار EF، مقادیر برآورده شده را نسبت به مقدار میانگین اندازه‌گیری‌ها مقایسه می‌کند. مقدار منفی EF دلالت بر آن دارد که میانگین مقادیر اندازه‌گیری شده تخمین بهتری را نسبت

گیاه گوجه فرنگی انجام شد. آزمایش به صورت فاکتوریل در قالب طرح بلوک‌های کامل تصادفی اجرا شد. جهت تعیین نیاز کودی یک نمونه خاک به آزمایشگاه تحويل داده شد که برخی از ویژگی‌های فیزیکی و شیمیایی خاک مورد استفاده در جدول سه ارائه شده است.

۱۸۸۲ از سطح دریا قرار گرفته بود. آزمایش با چهار سطح مختلف آب آبیاری شامل ۵۰، ۷۵، ۱۰۰ و ۱۲۰ درصد نیاز آبی گیاه، شش سطح شوری شامل یک، دو، چهار، شش، هشت و ۱۰ دسی زیمنس بر متر و سه سطح نیتروژن شامل صفر، ۵۰ و ۱۰۰ درصد نیاز کودی با سه تکرار روی

جدول ۳- ویژگی‌های فیزیکی و شیمیایی خاک مورد آزمایش

Table 3- Physical and chemical properties of tested soil

FC soil texture	بافت خاک	CU	K+	N	P mg kg ⁻¹	OC	ZN	EC ds/m	pH
14.96	Sandy loam	1.18	55.5	20	2.05	3.73	3.73	3.53	7.24

آزمایش تهیه شد. برخی ویژگی‌های فیزیکی و شیمیایی این آب در جدول چهار ارائه شده است.

به منظور اعمال تیمارهای شوری، آب شور از یک حلقه چاه واقع در منطقه دماوند تهیه و به محل حمل گردید. تیمارهای شوری از اختلاط آب شور با آب چاه محل

جدول ۴- برخی ویژگی‌های شیمیایی نمونه آب مورد آزمایش چاه شور و غیر شور

Table 4- Some chemical characteristics of water samples tested saline and non-saline wells

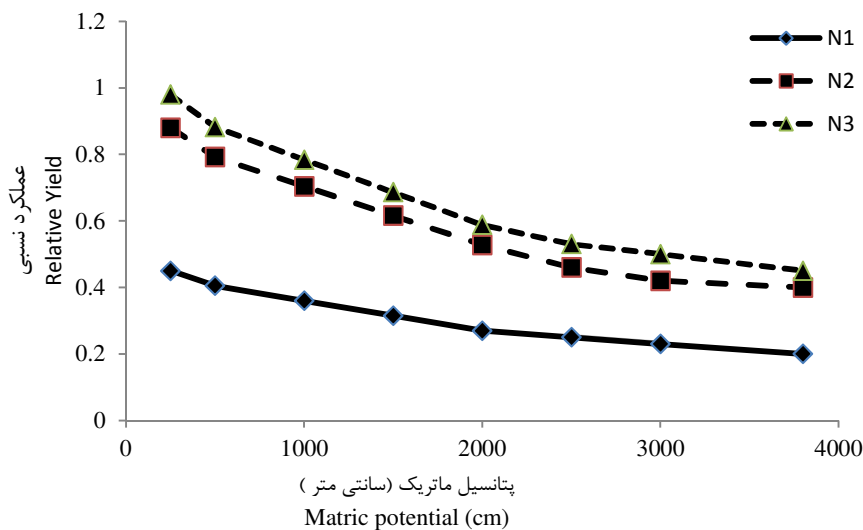
Water Source	منبع آب	Ca ²⁺	Mg ²⁺	Na ⁺	CO ₃ ²⁻	HCO ₃ ⁻	SO ₄ ²⁻	CL ⁻	K ⁺	EC ds/m	pH
Saline well		81.06	836.4	56	80	84.2	528	872.2	0.2	3.53	7.24
non-saline well		4.3	1.5	6	0.9	6.5	2.08	2.8	0.1	0.99	8.3

نتایج و بحث

تنش همزمان خشکی و نیتروژن

شکل یک عملکرد نسبی گیاه گوجه‌فرنگی به عنوان تابعی از سطوح مختلف نیتروژن و مقدار آب آبیاری را نشان می‌دهد. در تیمار بدون مصرف نیتروژن با افزایش تنش آبی تاثیر چندانی بر عملکرد نسبی نداشته که نشان دهنده تاثیرگذارتر بودن عامل تنش نیتروژن نسبت به تنش آبی است. اما در سطوح دیگر نیتروژن با افزایش تنش آبی کاهش عملکرد بیشتر مشهود بود، بنابراین اثر تنش کودی کمتر از اثر تنش آبی بود. همچنین در شرایط تنش آبی شدید افزایش کود مصرفی تاثیر چندانی بر عملکرد نسبی محصول نداشت، که این حیث با نتایج سوابی (۱۳۹۳) مطابقت دارد.

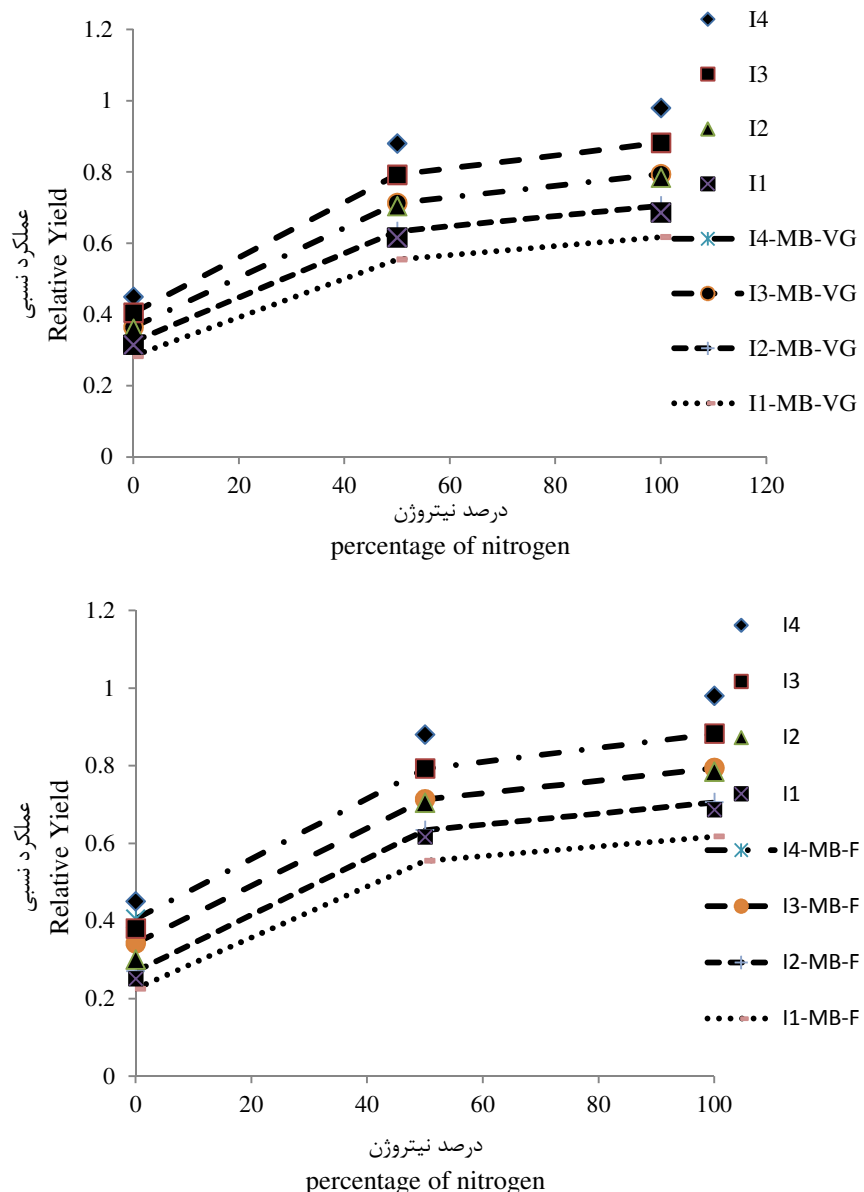
تیمارهای تنشی به مدت یک ماه و از مرحله گلدهی تا میوه‌دهی اعمال شد. رطوبت خاک هر روز در یک ساعت مشخص با استفاده از دستگاه رطوبت سنج اندازه‌گیری و جهت اطمینان از دقیق دستگاه وزن گلدان‌ها در یک ساعت مشخص با یک ترازوی دقیق (با دقیق ۰/۰۰۱ کیلوگرم) اندازه‌گیری گردید (گلدان به عنوان لایسیمترهای وزنی در نظر گرفته شد). برای برنامه‌ریزی آبیاری و تعیین زمان و مقدار آبیاری از روش بیلان رطوبتی آب در خاک استفاده شد. به منظور کمی کردن اثر خشکی، شوری و نیتروژن بر عملکرد محصول، عملکرد MB-MB-F، MB-H-VG و MB-H، MB-MB-D، MB-VD، MB-VG محسوبه شد. عملکرد نسبی برآورد شده توسط مدل‌ها با مقادیر اندازه‌گیری شده در برابر سطوح مختلف خشکی و نیتروژن رسم و نتایج مدل‌ها با هم مقایسه شدند.

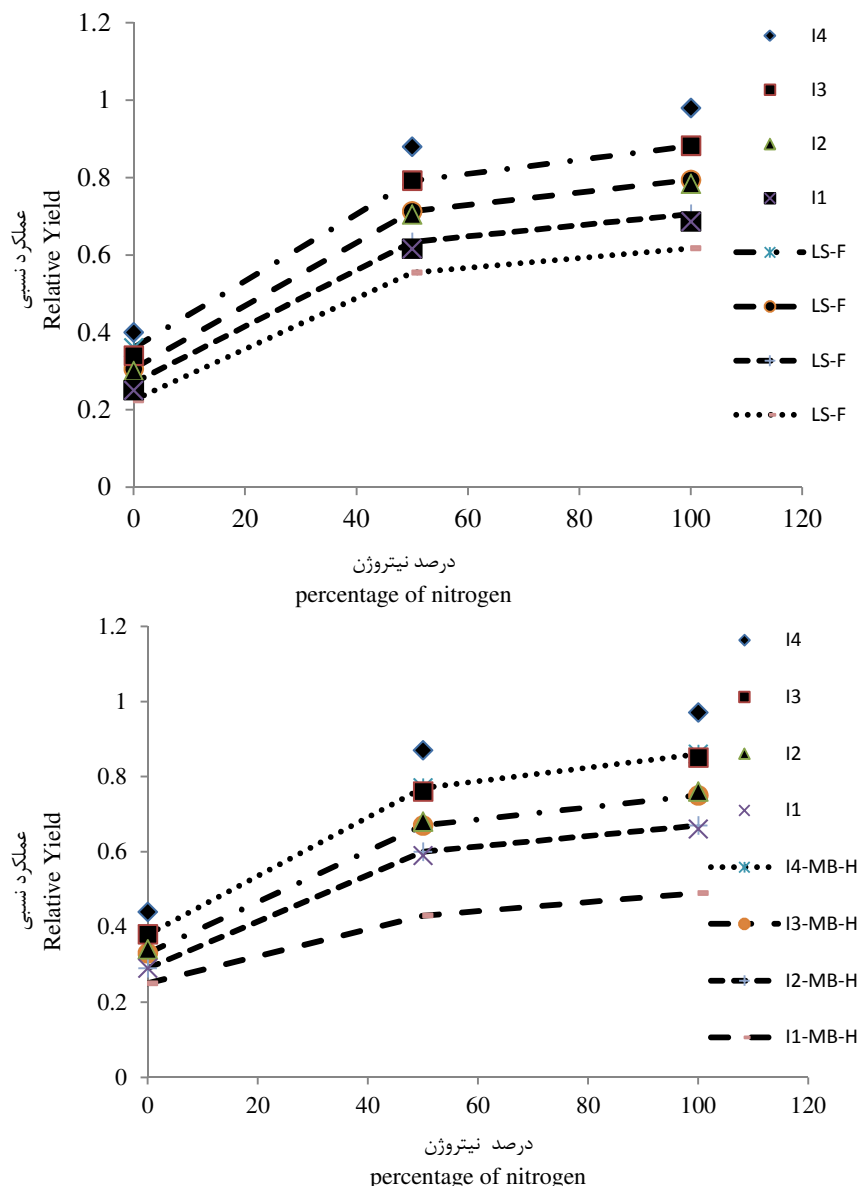


شکل ۱- مقایسه عملکرد نسبی در سطوح مختلف نیتروژن و مقادیر آب آبیاری.
Figure 1- Comparison of relative yield at different levels of nitrogen and irrigation water levels

نیتروژن در کاهش عملکرد بیش از دیگری باشد. جهت انتخاب بهترین مدل از بین چهار مدل مورد مطالعه شامل مدل‌های اشتقاقي LS-F, MB-H, MB-F و MB-VG تحت شرایط تنش تؤمن آبی و نیتروژن شاخص‌های آماری ارزیابی مدل‌ها محاسبه و در جدول پنج ارائه شده است. با توجه به آماره‌های ارزیابی محاسبه شده برای هر مدل، مدل‌های LS-F, MB-H, MB-F و MB-VG بهترین بیشترین تطبیق را با داده‌های اندازه‌گیری شده داشت که از این حیث با نتایج سرایی (۱۳۹۳) مطابقت دارد.

در شکل دو مقادیر عملکرد نسبی شبیه‌سازی شده گوجه‌فرنگی در شرایط تنش همزمان آبی و نیتروژن توسط مدل‌های اشتقاقي F, MB-H, MB-VG, MB-F و LS-F ارائه شده است. با توجه به شکل می‌توان گفت، هنگامی که نیتروژن، عملکرد گیاه را محدود نمی‌کند (تمامین ۱۰۰ درصد نیاز کودی گیاه) حد آستانه کاهش عملکرد گیاه تحت تاثیر شرایط تنش آبی شدیدتر است. نتایج نشان داد با افزایش تنش کودی و تنش خشکی تا حدودی از دقت شبیه‌سازی همه مدل‌ها کاسته می‌شود و کاهش تنش خشکی و یا مصرف نیتروژن، باعث افزایش عملکرد می‌گردد. اما چنانچه اثر یکی از تنش‌های خشکی یا





شکل ۲- مقایسه عملکردهای نسبی اندازه‌گیری و برآورده شده در سطوح مختلف نیتروژن و مقادیر آب آبیاری با مدل‌های اشتراقی LS F و MB-H F

Figure 2- Comparison of measured and estimated the relative performance of different nitrogen levels and water levels derived models MB-VG, MB-F, MB-H and F- LS.

جدول ۵- آماره‌های محاسبه شده برای مقایسه مدل‌ها تحت شرایط تنش همزمان مقادیر آب آبیاری و نیتروژن.

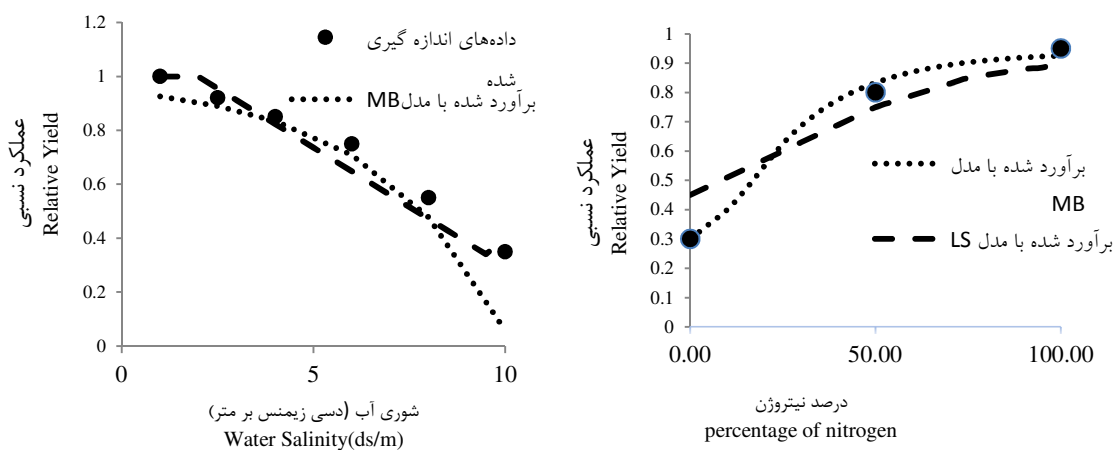
Table 5- The calculated statistics for comparing models under simultaneous stress conditions of irrigation water and nitrogen levels.

مدل‌ها (Models)	رگرسیون (R ²)	بیشبرآورده و کمبرآورده (CRM)	کارایی مدل (EF)	قدر مطلق بیشینه خطاهای خطاهای (ME)	میانگین قدر مطلق خطاهای (RMSE)
MB-VG Model	0.98	0.01	0.95	6.61	5.61
MB -F Model	0.96	0.03	0.94	8.21	7.51
MB -H Model	0.96	0.07	0.92	10.21	9.64
LS -F Model	0.94	-0.09	0.9	12.86	12.9

گوجه‌فرنگی در سطوح مختلف شوری را نشان می‌دهد. با مقایسه آماره‌های محاسبه شده دو مدل در سطوح مختلف شوری (جدول شش) مشخص است که مدل تعديل یافته LS در پیش‌بینی عملکرد نسبی گوجه‌فرنگی در سطوح مختلف شوری مناسب‌تر از مدل تعديل یافته MB می‌باشد. همچنین مدل تعديل یافته MB میانگین عملکرد نسبی در سطوح مختلف نیتروژن خاک را با دقت مناسب‌تری نسبت به مدل تعديل یافته LS برآورد می‌نماید (جدول چهار). که از این حیث با نتایج اردلانی و همکاران (۱۳۹۶)، اختری و همکاران (۱۳۹۳) و Shenker (et al., 2003) تطابق دارد.

تنیش همزمان شوری و نیتروژن

نتایج نشان داد به هنگام وجود هر دو تنیش شوری و فقر غذایی باید دقت نمود که آیا مصرف کود تحمل گیاه به شوری را کاهش یا افزایش می‌دهد؟ (سرایی، ۱۳۹۳). در تیمار بدون مصرف نیتروژن افزایش شوری تأثیر چندانی بر کاهش عملکرد نسبی نداشت، که نشان دهنده تأثیرگذار بودن عامل کمبود نیتروژن نسبت به شوری است. در شکل سه عملکرد نسبی برآورده شده با مدل‌های تعديل یافته LS و MB در مقایسه با عملکرد نسبی محاسبه شده برای سطوح مختلف نیتروژن خاک و برآورده مدل‌های تعديل یافته LS و MB بر عملکرد نسبی اندازه‌گیری شده



شکل ۳- مقایسه عملکردهای نسبی به وسیله مدل‌های MB و LS در سطوح مختلف نیتروژن و تحت شوری‌های مختلف
Figure 3- Comparison of relative yields by MB and LS models at different levels of nitrogen and under different salinity

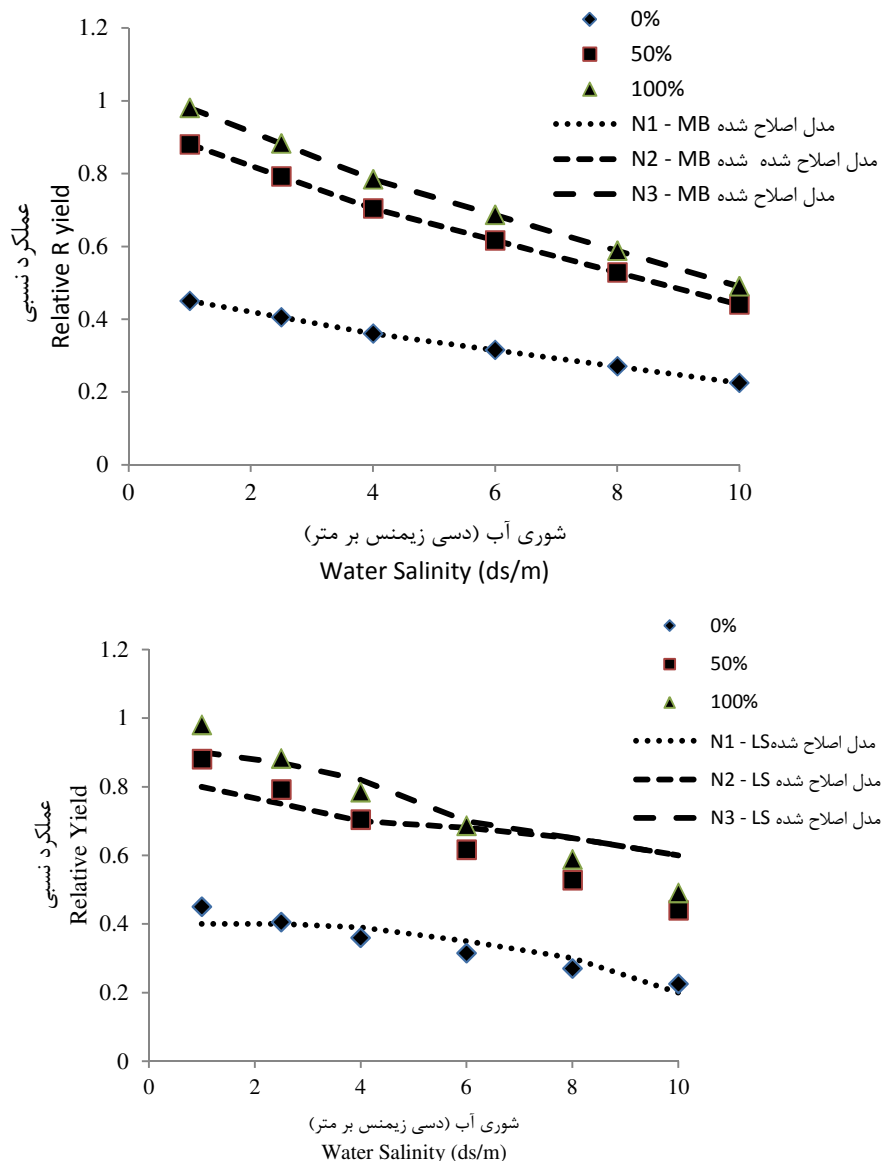
جدول ۶- آماره‌های محاسبه شده برای مقایسه مدل‌ها بر اساس سطوح نیتروژن خاک و شوری آب آبیاری

Table 6- The calculated statistics for comparison of models based on soil nitrogen levels and irrigation water salinity.

تنیش (Stress)	مدل Model	R^2	CRM	EF	ME	RMSE	میانگین قدر مطلق خطاهای Biesiyene Xataha
نیتروژن (Nitrogen)	LS	0.89	-0.45	1.09	14.2	25.9	
شوری آب (Water salinity)	LS	0.89	0.09	0.92	6	12.61	
نیتروژن (Nitrogen)	MB	0.92	0.05	1.14	3.7	6.1	
شوری آب (Water salinity)	MB	0.85	0.11	0.87	8	12.84	

نیتروژنه N_{100} و N_0 متوسط حد آستانه شوری متفاوت بوده و به ترتیب برابر $4, 2/5, 4/5$ دسی‌زیمنس بر متر می‌باشد. با مقایسه آماره‌های جدول هفت مشخص است که مدل تعديل یافته MB برای برآورد عملکرد نسبی گوجه‌فرنگی در همه سطوح نیتروژن در شوری‌های مختلف دارای دقت قابل قبول تری می‌باشد.

شکل چهار مقادیر عملکرد نسبی شبیه‌سازی شده گوجه‌فرنگی در شرایط تنفس هم‌زمان شوری و نیتروژن توسط مدل‌های تعديل یافته LS و MB را نشان می‌دهد، که در آن گیاه به طور هم‌زمان تحت تنفس شوری و کمبود نیتروژن قرار می‌گیرد. هنگامی که نیتروژن، عملکرد گیاه را محدود نمی‌کند حد آستانه کاهش عملکرد شوری بیشتر است. نتایج نشان داد در سطوح مختلف کود



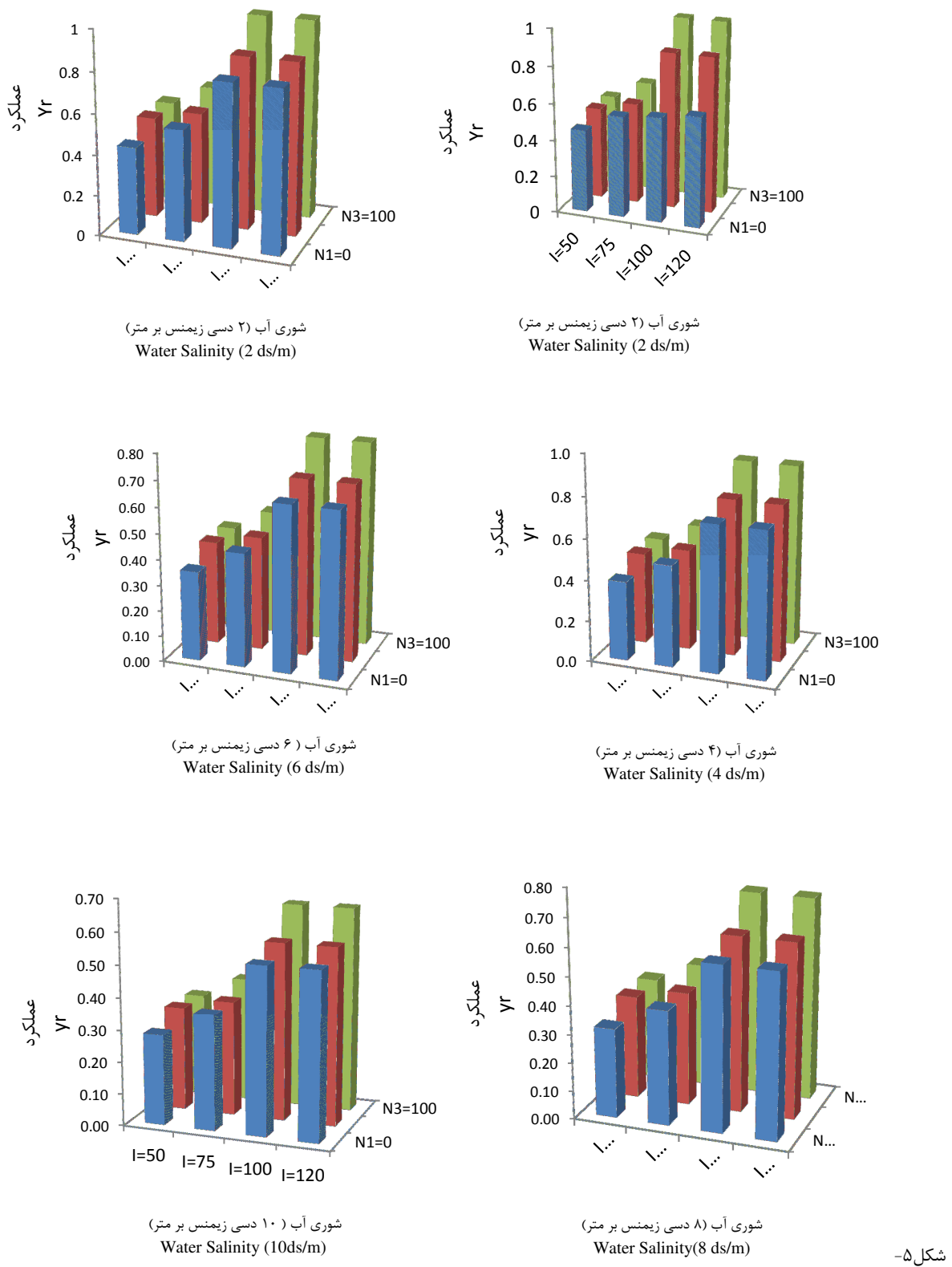
شکل ۴- مقایسه عملکرد نسبی اندازه‌گیری شده و برآورد شده در سطوح مختلف شوری آب آبیاری و نیتروژن بر اساس مدل تعديل یافته LS و MB

جدول ۷- آماره‌های محاسبه شده برای مقایسه مدل‌های تعدیل یافته LS و MB براساس سطوح مختلف نیتروژن و شوری آب آبیاری
Table 7- Table 6- The calculated statistics for comparison of models based on soil nitrogen levels and irrigation water salinity

Model	Nitrogen levels	مدل	سطوح نیتروژن	میانگین قدر مطلق خطاهای بیشینه	قدر مطلق خطاهای بیشینه	بیشبرآوردهای کمبرآوردهای	کارایی مدل	پارامتر توصیفی
			ME	RSME	CRM	EF	d	
LS	N1	LS	0.03	0.08	0.08	-7.8	0.88	
MB	N1	MB	0.02	0.02	0.04	-7.6	0.95	
LS	N2	LS	0.067	0.07	0.08	-3	0.73	
MB	N2	MB	0.062	0.05	0.06	-2	0.78	
LS	N3	LS	0.1	0.12	0.12	-2.5	0.56	
MB	N3	MB	0.02	0.04	0.03	-1.2	0.93	

تنش همزمان خشکی، شوری و نیتروژن
در شکل پنج واکنش عملکرد گوجه فرنگی به تنش همزمان آبی و کودی در شرایط مختلف تنش شوری ارائه شده است. نتایج نشان داد شبیه افزایش عملکرد در تنش‌های شوری پایین، بیشتر از تنش‌های شدید است. اثر تنش کودی کمتر از تنش آبی و تنش شوری است. در تنش‌های شوری کم، افزایش کود مصرفی باعث افزایش عملکرد می‌شود و در تنش‌های شوری شدید، افزایش کود مصرفی در افزایش عملکرد محصول تاثیر چندانی ندارد. منتها افزایش مقدار آب آبیاری عملکرد را افزایش می‌دهد. بدان معنی که اهمیت تنش آبی نسبت تنش کودی (مواد مغذی) بیشتر می‌باشد. نتایج نشان داد که واکنش گیاه گوجه فرنگی به تنش همزمان آبی، شوری و نیتروژن MB-MB-H و MB-MB-VG و MB-MB-F ضرب‌پذیر است. و دو مدل MG و برازش خوبی نسبت به سایر مدل‌ها دارند که از این حیث با نتایج سرایی (۱۳۹۳) همخوانی دارد و مناسب‌ترین مدل، مدل MB-MB-F می‌باشد.

نتایج نشان داد که گیاه گوجه فرنگی در حالت کمبود مواد غذایی نسبت به شوری تحمل کمتری دارد. گیاه پس از تامین کود کافی تحملش در مقابل شوری افزایش یافت. کوددهی نیتروژن در تمام خاک‌ها ضروری است ولی Flores *et al.*, (2001) برهمکنش بین شوری و عناصر غذایی بر عملکرد گیاه پیچیده و به عواملی مختلفی نظیر جنس و رقم گیاه، ترکیب سطوح شوری و غلظت عناصر بستگی دارد Petersen *et al.*, (1998). لازم است مقدار نیتروژن مورد نیاز در شرایط شور تعیین گردد. چون مصرف این کودها مشابه با شرایط غیرشور نه تنها عملکرد را افزایش نمی‌دهد بلکه ممکن است باعث کاهش عملکرد و در برخی موارد وزن تر و خشک میوه گیاهان در شرایط شور با افزایش نیتروژن در مقادیر بیش از آنچه در شرایط غیرشور لازم است کاهش و در برخی موارد افزایش معنی‌داری نشان دهد (Navarro *et al.*, 2000) که از این حیث با نتایج این تحقیق همخوانی دارد.



-5

واکنش عملکرد گوجه فرنگی به تنش همزمان آبی و کودی در شرایط مختلف تنش شوری

Figure 5- The response of tomato to the simultaneous stresses of water and fertilizer in different conditions of salinity stress

جدول ۸- آماره‌های محاسبه شده برای مقایسه مدل‌ها تحت شرایط تنش همزمان آبی، شوری و نیتروژن

Table 8- Calculated statistics for comparison of models under simultaneous stress conditions of water, salinity and nitrogen

مدل	میانگین قدر مطلق خطاهای بیشینه	قدر مطلق بیشینه خطاهای	بیشبرآورده و کمپرآورده	کارایی مدل	ضریب رگرسیون
Model	ME	RSME	CRM	EF	R ²
MB-MB-F	6.61	8.61	0.02	0.95	0.98
MB-MB-VG	8.21	8.84	0.11	0.87	0.9
MB-MB-D	20.21	18.62	0.8	0.9	0.89
MB-MB-H	8.86	13.94	-0.08	0.92	0.91

عملکرد محصول نمی‌کند، در حالی‌که افزایش مقدار آب آبیاری عملکرد را افزایش می‌دهد. نتایج نشان داد در شرایط تنش همزمان آبی و نیتروژن مدل‌های اشتراقی MB-VG و MB-D، MB-F، MB-H مناسب‌تری می‌باشند و مدل MB-F در مقایسه با سایر مدل‌ها بهترین برازش را نسبت به داده‌های اندازه‌گیری دارد. در شرایط تنش آبی، شوری و نیتروژن مدل ضرب پذیر MB-MB-F در بین مدل‌های پیشنهادی دارای بهترین برازش می‌باشد.

نتیجه‌گیری کلی

بررسی تنش‌های آب، شوری و کمبود نیتروژن نشان داد در شرایط افزایش مکش ماتریک (تنش آبی) و مکش اسمزی (تنش شوری) عملکرد نسبی کاهش پیدا می‌کند. شبکه کاهش عملکرد نسبی در ابتدا زیاد و سپس کاهش می‌یابد. با کاهش میزان مصرف کود عملکرد نسبی محصول نیز کاهش پیدا می‌کند که اثر تنش کودی کمتر از تنش آبی و تنش شوری می‌باشد. در تنش‌های شوری شدید افزایش مقدار مصرف کود کمک چندانی به افزایش

منابع مورد استفاده:

References

- اردلانی، ح.، بابازاده، ح.، و ابراهیمی، ح. ۱۳۹۶. مدل‌سازی واکنش گوجه فرنگی به تنش‌های همزمان شوری آب و کمبود نیتروژن، نشریه پژوهش آب در کشاورزی، شماره ۳۱(۱): ۴-۱۰ - ۸۷.
- سرایی تبریزی، م. ۱۳۹۳. مدل‌سازی جذب آب به وسیله گیاه در شرایط تنش‌های توآمان آب، شوری و نیتروژن. دانشگاه علوم و تحقیقات. تهران. پایان نامه دکترای تخصصی. ۱۳۲ صفحه.
- Brown, C.E., Pezeshki, S.R., and DeLaune R.D. 2006.** The effects of salinity and soil drying on nutrient uptake and growth of *Spartina alterniflora* in a simulated tidal system. Environmental and Experimental Botany, 58: 140–148.
- Bustan, A., Cohen, S., Malach, Y. D., Zimmerman, P., Golan, R., Sagi, M., and Pasternak, D. 2005.** Effects of timing and duration of brackish irrigation water on fruit yield and quality of late summer melons. Agricultural Water Management, 74: 123-134.
- Chartzoulakis, K.S., and Klapaki, G. 2005.** Response of two greenhouse pepper hybrids to NaCl salinity during different growth stages. Scientia Horticulturae, 86: 247-260.
- Demiral, M.A., Aydin, M., and Yorulmaz, A. 2005.** Effect of salinity on growth chemical composition and antioxidation enzyme activity of two Malting barley (*Hordeum vulgare*) cultivars. Turkish Journal Biology, 29: 117-123.
- Ercoli, L., Lulli, L., Mariotti, M., Masoni, A., Arduini, I. 2008.** Post-anthesis dry matter and nitrogen dynamics in durum wheat as affected by nitrogen supply and soil water availability. European Journal Agronomy, 28: 138-147.
- Erdal, I., Ertek, A., Senyigit, U., and Yilmaz, H.I. 2006.** Effects of different irrigation programs and nitrogen levels on nitrogen concentration, uptake and utilization in processing tomatoes. Australian J. of Experimental Agric. 46 (12): 1653-1660.
- Flores, P., Carvajal, M., Cerda, A., and Martinez, V. 2001.** Salinity and ammonium/nitrate interactions on tomato plant development, nutrition and metabolites. Journal Plant Nutrient, 24: 1561-1573.
- Homaee, M., Feddes, R.A., and Dirksen, C. 2002^a.** A macroscopic water extraction model for non uniform transient salinity and water stress. Soil Science Society American Journal, 66(6): 1764-1772.
- Homaee, M., Feddes, R.A., and Dirksen, C. 2002^b.** Simulation of root water uptake. Non uniform transient combined salinity and water stress. Agric. Water Manage, 57(2): 127-144.
- Jun-Feng, Y.GU.F., Hai-Yan, M.A., and Chang-Yan, T. 2010.** Effect of nitrate on root development and nitrogen uptake of *Suaeda physophora* under NaCl salinity. Pedosphere, 20(4): 536-544.
- Massa, D., Mattan, N.S., and Lieth, H.J. 2009.** Effects of saline root environment (NaCl) on nitrate and potassium uptake kinetics for rose plants: a Michael-Menten modeling approach. Plant Soil, 318: 101-115.
- Melton, R.R., and Dufault, R.J. 1991.** Nitrogen, phosphorus, and potassium fertility regimes affect tomato transplant growth. Horticulture Science, 26(2): 141-142.
- Navarro, J.M., Martinez, V., and Carvajal, M. 2000.** Ammonium, bicarbonate and calcium effects on tomato plants grown under saline conditions. Plant Science, 157: 89-96.
- Petersen, K.K., Willumsen, J., and Kach, K. 1998.** Composition and taste of tomato as affected by increased salinity and different salinity sources. Journal Horticulture Science Biotechnology, 73: 205-215.
- Rahman, M.J., Mondol, A.T., Rahman, M.A.I., Bgume, M.N., and Alam, M.K. 2007.** Effect of irrigation and nitrogen on tomato yield in the grey terrace soil of Bangladesh. Journal Soil Nature, 1(3): 1-4.
- Ramos, T.B., Castanheirra, N.L., Goncalves, M.C., Fernandes, M.L., Januario, M.I., Lourenco, M.E., Pires, F.P., and Martinus, J.C. 2012.** Effect of combined use of brackish water and nitrogen fertilizer on biomass and sugar yield of sweet sorghum. Pedosphere, 22(6): 785-794.
- Shenker, M., Ben-Gal, A., and Shani, U. 2003.** Sweet corn response to combined nitrogen and salinity environmental stresses. Plant Soil, 256: 139-147.
- Siddiqui, M.H., Mohammad, F., Nasir Khan, M., Al-whaibi, M.H., and Bahkali, A.H.A. 2010.** Nitrogen in relation to photosynthetic capacity nd accumulation of osmoprotectant and nutrients in *Brassica* genotypes grown under salt stress. Agricultural Sciences in China, 9(5): 671-680.
- Skaggs, H.T., Van Genuchten, M.Th., Shouse, P.J., and Poss, J.A. 2006.** Macroscopic approaches to root water uptake as a function of water and salinity stress. Agricultural Water Management, 86 (1-2): 140-149.
- Uwimana, A., Okal, W., and Kwach, B.O. 2011.** Effects of genotype, environment and management on yields and quality of black tea. Genetics, Bio fuels and Local Farming Systems, 7:277-307.
- Yoldas, F., Ceylan, S., Yagmur, B., and Morologan, N. 2008.** Effect of nitrogen fertilizer on yield quality and nutrient content in broccoli. J. Plant Nutr, 31(7): 1333-1343.